

مطالعات زمین‌شناسی مجموعه افیولیت‌اللهیارلو، شمال غرب ایران

شهره حسن‌پور^۱ و سعیده سنماری^{۲*}

۱- گروه زمین‌شناسی، دانشگاه پیام‌نور، ایران

۲- گروه مهندسی معدن، دانشگاه بین‌المللی امام خمینی (ره)، قزوین

* senemari2004@yahoo.com

دریافت: ۹۷/۲/۲۹ پذیرش: ۹۸/۴/۱

چکیده

سنگ‌های اصلی این مجموعه از توالی گابرو و سنگ‌های نفوذی التراپاژیکی و پریدوتیتی تشکیل شده‌اند و همچنین شامل پلاژیوگرانیت‌ها بوده و از بازالت‌های بالشی بزرگی که بصورت بین لایه‌ای با سنگ‌های رسوی پلاژیک همراه با چرت‌های رادیولردار تشکیل شده‌اند. داده‌های عناصر ناسازگار بهنجار شده نسبت به گوشه‌های اولیه و کندrit نشان می‌دهند که افیولیت‌اللهیارلو از بازالت‌هایی با منشأ گوشه‌ای حاصل آمده است. براساس داده‌های عناصر نادر خاکی (REE)، تمام سنگ‌های افیولیت‌اللهیارلو، سنگ‌های همزاد و حاصل تفرق ماقمایی با منشأ بازالت‌های پشتۀ میان اقیانوسی از نوع آرایه گوشه‌ای مورب غنی شده (E-MORB) هستند. سنگ‌های گابرو، بازالت، پلاژیوگرانیت و متاگابرو همگی خصوصیات کالک‌آلکالن از خود نشان می‌دهند. سنگ‌های افیولیتی اولترامافیک و بازالت‌های بالشی به ترتیب در طول پالئوزوئیک پسین تا تریاس پسین تشکیل شده‌اند. بازسازی صفات تکتونیکی نشان می‌دهد که سنگ‌های این مجموعه تقریباً همزمان با افیولیت‌های نواحی مشهد و رشت تشکیل شده‌اند و سن تبلور آن‌ها حدوداً ۳۸۰ میلیون سال است. مجموعه سنگ‌های افیولیت‌اللهیارلو نشان‌دهنده موقعیت شمالي پوسته اقیانوسی بوده و پوسته پالئوتیس در این زمین درز افیولیتی از پالئوزوئیک فوقایی تا تریاس پسین حفظ شده است. این مجموعه همچنین کربنات‌های پلاژیک و بازالت‌ها به عنوان لایه‌های میانی یا قطعات بیگانه هستند. نتایج مطالعات چینه‌شناسی، شواهد بیواستراتیگرافی مربوط به دوران پالئوزوئیک را نشان می‌دهد. شواهد بدست آمده حاکی از آن است که اگرچه ریفت اولیه و متبلور شدن پوسته اقیانوسی افیولیت‌اللهیارلو در کربونیفر آغاز شده، اما فعالیت‌های آتششانی همچنان تا تریاس پسین ادامه داشته است.

واژه‌های کلیدی: افیولیت، پالئوتیس، اللهیارلو، لاهرو

۱ نشان داده شده است. در مقاله ارائه شده توسط آروین و رابینسون (۱۹۹۴)، افیولیت‌های ایران را براساس سن تشکیل به دو گروه تقسیم‌بندی می‌کنند: افیولیت‌های نادر پالئوزوئیک و افیولیت‌های فراوان مزوژوئیک. افیولیت‌های ایران از لحاظ واحد‌های ساختاری نیز به چهار گروه اصلی تقسیم‌بندی شده‌اند: (الف) افیولیت‌های شمال ایران در محدوده البرز، (ب) افیولیت‌های زمین‌درز زاگرس، از جمله افیولیت‌های نیریز و کرمانشاه، که به نظر می‌رسد با افیولیت‌های اسماعیل (عمان) که در حاشیه قاره عربی قرار دارد همسن باشند، (پ) افیولیت‌های منشور برافزایشی مکران و (ت) افیولیت‌ها و آمیزه‌های رنگین که مرزهای خرده قاره مرکزی-خاوری ایران^۱ (CIM) را نشان می‌دهد که شامل افیولیت‌های شهر بابک،

۱- مقدمه

افیولیت‌ها اساساً قطعاتی از لیتوسفر اقیانوسی هستند که به صورت تکتونیکی و ضمن رخداد کوهزایی در قاره‌ها به وجود می‌آیند. این بخش از پوسته اقیانوسی حاوی مواد معدنی بوده و معمولاً در امتداد زمین‌درزهای پوسته قرار گرفته و نقش مهمی در بازسازی پیشینه تکتونیکی کمربندهای کوهزایی دارند (کولمن، ۱۹۷۷؛ دیلیک، ۲۰۰۳). یک افیولیت کامل شامل توالی نسبتاً دست نخورده از پوسته اقیانوسی و گوشه‌ای است که از بالا به پایین شامل: گدازه‌های بالشی، دایک‌های ورقه‌ای، سنگ‌های مافیک توده‌ای و اولترامافیک و پریدوتیت‌های تکتونیزه شده است. اکثر افیولیت‌ها به علت گسلش‌های بعدی بسیار آسیب‌پذیر بوده و برخی از این واحدها بخصوص دایک‌های ورقه‌ای شکل ممکن است از بین بروند. مناطق اصلی تکتونیک ایران و افیولیت‌ها در شکل

^۱ Central Iranian Microcontinent ophiolites

منجر به تغییر شکل ائوکیمپرین و فشرده شدن حاشیه آن در ژوراسیک میانی، در شمال ایران و افغانستان شده است (شکل ۲) (بولین، ۱۹۸۸؛ زانچی و همکاران، ۲۰۰۹). باز شدن زمین درز پالئوتیس تحت تأثیر پراکندگی وسیعی از مواد قلیایی به سمت ترکیبات بازالت‌های تولئیتی قاره‌ای میل کرده است (بازالت‌های سلطان میدان)، توده‌های پلوتونیک مافیک- فلزیک و دولومیت‌ها، رسوبات تبخیری و اجزا آواری در اوردویسین، سازند قلی تا دونین زیرین، سازند پادها در شمال ایران است (استامپفلی، ۱۹۷۸؛ اهری‌پور و همکاران، ۲۰۱۰). این داده‌ها نشان می‌دهد که به دنبال بازشدگی پوسته در اردویسین- سیلورین، گسترش بستر اقیانوسی از زمان دونین تا پرمین متغیر بوده و منجر به گسترش کف اقیانوس در پالئوتیس شده است. بقایای پالئوزوئیک عمدتاً در بخش شمالی ایران گسترش دارد اما بطور کامل شناخته شده نیست. قطعات افیولیتی شمال ایران، شامل افیولیت‌های مشهد، فریمان- دره انجیر (در کپه‌داغ)، رشت، تکاب و جندق- انارک است (شکل ۱). در مطالعه حاضر، نتایج مطالعه چند زمینه‌ای در مورد شکل‌گیری و تکامل افیولیت‌اللهیارلو در شمال غرب ایران، ارائه شده است. در این تحقیق، از داده‌های صحرایی، مطالعات پتروگرافی، آنالیزهای شیمیایی عناصر نادر خاکی و چینه‌شناسی استفاده شده است تا در نهایت محیط تشکیل اجزا سازنده در بستر اقیانوسی پالئوتیس مورد بررسی قرار گیرند.

پراکندگی افیولیت‌های ایران

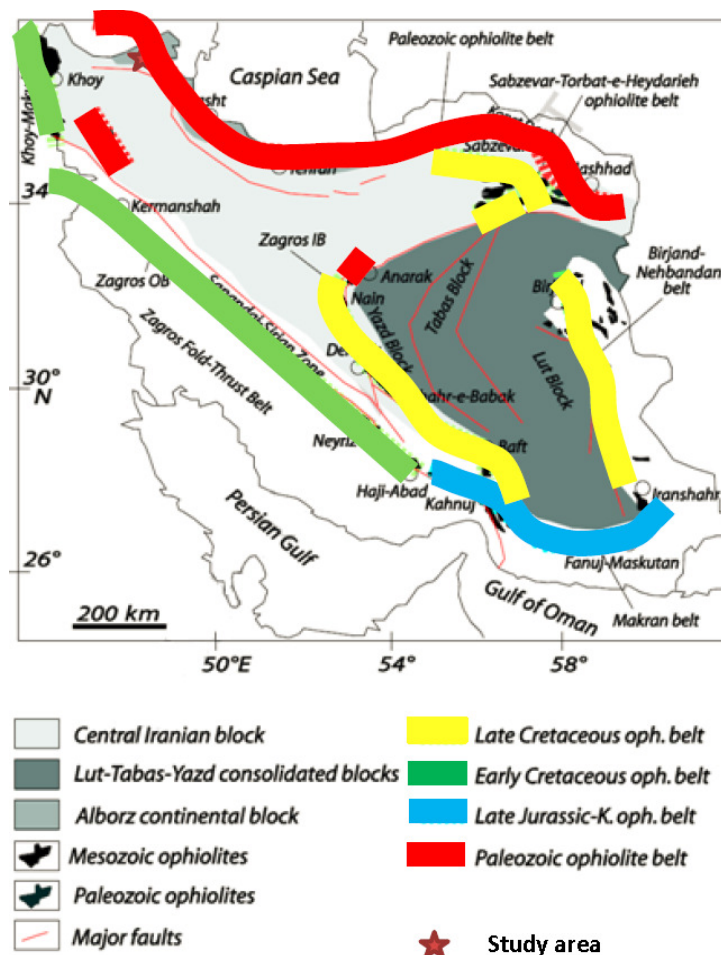
افیولیت‌های ایران به دو گروه عمدۀ تقسیم شوند: افیولیت‌های پالئوزوئیک با فراوانی کم و افیولیت‌های مزووئیک با فراوانی بیشتر (قاضی و همکاران، ۲۰۰۳). این افیولیت‌ها به طور خاص به چهار گروه عمدۀ نیز تقسیم‌بندی شده‌اند (تاكین، ۱۹۷۲؛ اشتولکلین، ۱۹۷۴؛ مک کال، ۱۹۸۵، ۱۹۹۷؛ قاضی و حسنی پاک، ۲۰۰۰): (۱) افیولیت‌های شمال ایران در محدوده البرز (برای مثال، افیولیت‌های تالش (رشت) و ویرانی (مشهد)); (۲) افیولیت‌های زمین درز زاگرس، که شامل نیریز و افیولیت‌های کرمانشاه است، به نظر می‌رسد با افیولیت‌های اسماعیل که در حاشیه قاره عربی قرار دارد همزمان باشند. (۳) افیولیت‌ها و آمیزه‌های رنگین منطقه

نایین، بافت، سبزوار و چهل کوره می‌باشند (تکین، ۱۹۷۲؛ اشتولکلین، ۱۹۷۴؛ مک کال، ۱۹۹۷). بخشی زمین‌شناختی در ایران مرکزی است که از بزد، پشت بادام، طبس تا بلوك لوت کشیده شده است. براساس مشاهدات صحرایی افیولیت‌های ایران به سه گروه تفکیک می‌شوند: (الف) پروتروزوئیک، که به صورت رخنمون‌های منحصر بفردی در حاشیه غربی CIM حضور دارند، (ب) ژوراسیک پسین، که در دامنه شمالی البرز واقع است، و (پ) ژوراسیک پیشین، که فراوان‌ترین نوع هستند (علوی، ۱۹۹۱). جدول ۱ خلاصه‌ای از مشخصات توزیع، سن، خصوصیات شیمیایی و ساختاری/ تکتونیکی عمدۀ از افیولیت‌ها از ژوراسیک پسین تا پیشین ایران است که توسط محققینی مانند بابایی و همکاران، (۲۰۰۱)؛ قاضی و همکاران، (۲۰۰۳)، شجاعت و همکاران، (۲۰۰۳) جمع‌آوری شده است. بنابراین افیولیت‌ها بطور گستردگی در ایران پراکنده شده و می‌توانند به دو گروه اصلی تفکیک گرددند (شکل ۱): (۱) افیولیت‌های پالئوزوئیک در شمال ایران (۲) افیولیت‌های مزووئیک که در قسمت‌های جنوبی و در اطراف کوه‌های اصلی در بلوك قاره‌ای هستند (شفایی‌مقدم و استرن، ۲۰۱۱؛ شفایی‌مقدم و همکاران، ۲۰۱۳). در شکل ۱، موقعیت جغرافیایی پالئوتیس و افیولیت‌ها را می‌توان در جهت شمال شرق تا شمال غرب ایران دنبال کرد (شفایی‌مقدم و همکاران، ۲۰۱۴). افیولیت‌های پالئوزوئیک جنوب غربی آسیا در ترکیه^۲ و قفقاز و در مسیری از داخل ایران به سمت افغانستان، ترکمنستان و بتت رخنمون دارند (مینگ و همکاران، ۲۰۱۲؛ شی و همکاران، ۲۰۱۳؛ سو و همکاران، ۲۰۱۱). پراکندگی افیولیت‌های پالئوزوئیک در این مناطق، نشان‌دهنده سابقه طولانی ریفت قاره‌ای، پیشرفت سواحل اقیانوسی، آغاز فرورانش در امتداد حاشیه جنوبی اوراسیا، رخنمون سنگ‌های فشار بالا و بسته شدن حوضه اقیانوسی پالئوتیس است (استامپفلی و بورل، ۲۰۰۲؛ باقری و استامپفلی، ۲۰۰۳؛ رولند و همکاران، ۲۰۱۱؛ دای و همکاران، ۲۰۱۱؛ جیان و همکاران، ۲۰۰۹ الف و ب؛ زای و همکاران، ۲۰۱۳؛ زانچتا و همکاران، ۲۰۱۳؛ بوکس و همکاران، ۲۰۱۳؛ عمرانی و همکاران، ۲۰۱۳). در جنوب اوراسیا، اقیانوس پالئوتیس در پالئوزوئیک پیشین باز شده و در تریاس بسته شده و

² Kure mélange

در شکل ۱ امتداد کلی افیولیت‌های فوق بر روی نقشه ایران نشان داده شده است. اخیرا هم مطالعات و تقسیم‌بندی‌های جدیدی توسط ترابی و همکاران، در خرده قاره شرق و ایران مرکزی صورت گرفته است. بنظر ایشان دو نوع افیولیت در حاشیه آن که از لحاظ زمانی مربوط به مژوزوژیک هستند و نیز نئوتیس (مثل نایین و عشین) و دیگری که در درون بخش غربی آن در مناطق انارک - جندق - بیاضه و پشت بادام که متعلق به زمان پالئوزوئیک و پالئوتیس است وجود دارد (بربریان و همکاران ۱۹۸۱).

مکران که در جنوب بلوك خردۀ قاره سندج- سیرجان واقع شده و شامل مجموعه‌های غیرآواری اولتراماگیک مانند سرخ‌بند و رودان هستند؛ (۴) برخی از افیولیت‌ها و آمیزه‌های رنگین که مزه‌های خردۀ قاره مرکزی- خاوری ایران CIM را نشان می‌دهند، در منطقه مکران هستند (برای مثال، بند زیارت، دره‌انجیر، گنجی، رمشک و مختارآباد) و آن‌هایی که در داخل بلوك خردۀ سندج- سیرجان قرار دارند و از طریق مکران نیز گسترش می‌یابد (شهر بابک، نائین، بافت، سبزوار، چهل کوره و ایران شهر، فتوچ- مسکوتان) (شکل ۱) (جدول ۱).



شکل ۱. نقشه زمین‌شناسی ایران با تکیه بر کمربندی‌های افیولیتی (خطوط ضخیم) (شفایی مقدم و همکاران، ۲۰۱۴)

دگرگونی رشت- اسلام (RS) در جنوب‌غرب دریای خزر، سنگ‌های دگرگون شده هستند و ترکیبات افیولیتی دارند. سه ویژگی مهم زمین‌شناسی در این منطقه عبارتند از: (الف) گدازه‌های بالشی، که بر روی توالی افیولیتی قرار دارند، (ب) توالی افیولیتی اللهیارلو، که از

زمین‌شناسی ناحیه‌ای و منطقه‌ای زمین‌درز اللهیارلو در شمال‌غرب ایران دارای رخمنون کوچکی از مجموعه افیولیتی است که در منطقه البرز و در بخش جنوبی فورانش خزر قرار گرفته است. زمین‌شناسان بر این باور هستند که بخش غربی زون

زیر سنگ‌های آتشفشاری ژوراسیک پسین-کرتاسه پیشین و کرتاسه پسین در منطقه قرار گرفته‌اند (شکل‌های ۳ و ۴). سنگ‌های آهکی پلازیک، صورتی و قمز رنگ بوده و میان لایه‌ای از شیل و مارن با رنگ‌های زرد و سبز دارند. به اعتقاد بربریان و همکاران (۱۹۸۱) این مجموعه احتمالاً با زمین‌درز سوان-آکرا در آن دوران ارتباط داشته است (شکل ۱).

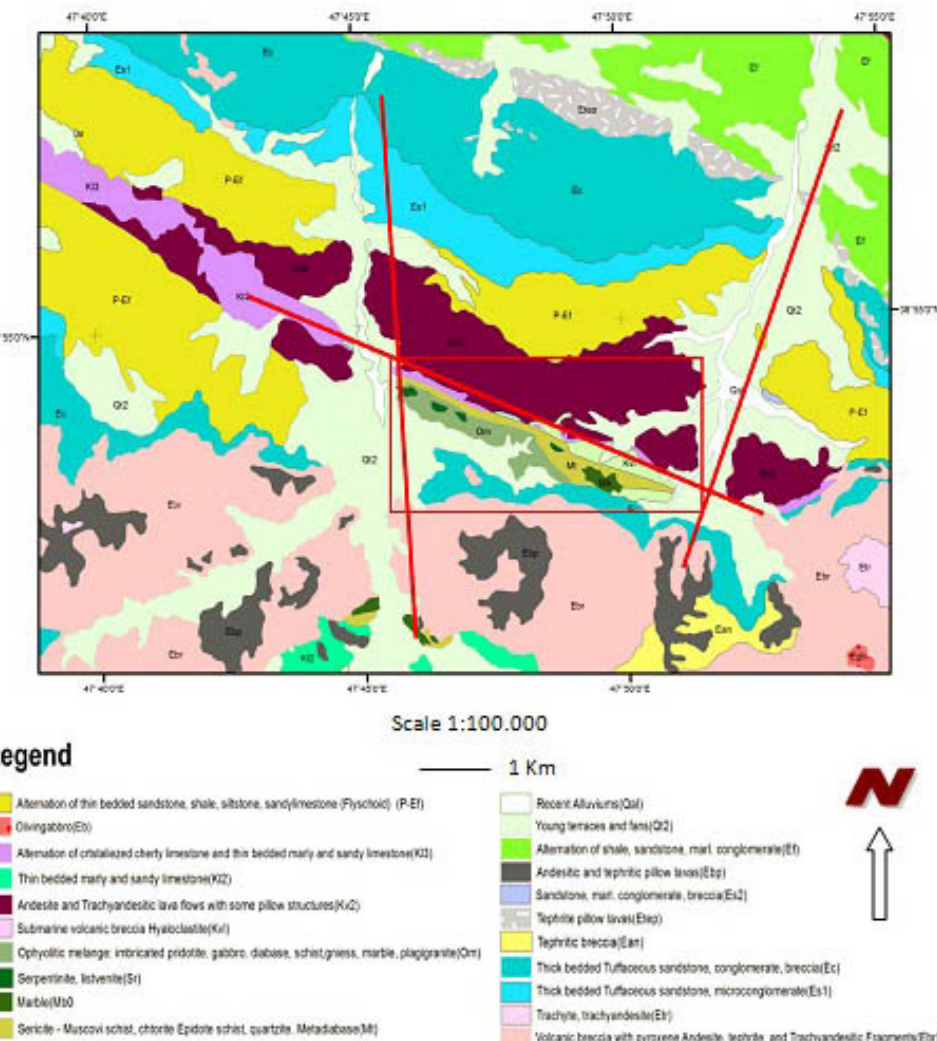
گابرو، سنگ‌های اولترامافیک و پلازیوگرانیت‌ها تشکیل شده است؛ (پ) سنگ‌آهک پلازیک که مستقیماً بر روی توالی فوق نهشته شده است. توالی اللهیارلو شامل گنیس، آمفیبولیت، کلریت شیست و متادیاباز همراه با سر پانتینیت‌ها، گابرو، دونیت، برش‌های تکتونیکی و مرمر است که در قسمت زیرین سنگ‌های آهکی پلازیک با جهت شرقی-غربی قرار گرفته‌اند. کل این مجموعه در

جدول ۱. خلاصه‌ای از مشخصات عمومی افیولیت‌های ایران (زانچتا و همکاران، ۲۰۰۹)

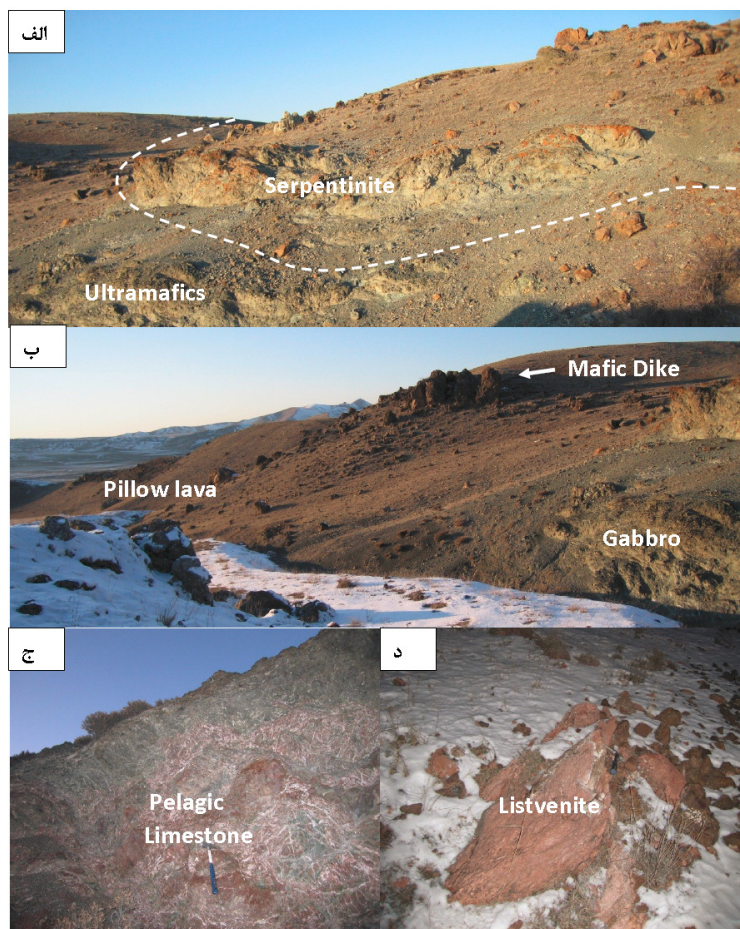
Region	Ophiolite Complex	Formation age (Ma)	Emplacement age (Ma)	References
N-NW	Khoy	154-159 (Ar/Ar)	106-110 (Ar/Ar)	Ghazi et al. (1997a)
			143 (Muscovite)	Hassanipak and Ghazi (2000)
Zagros	Rasht	Pre Jurassic	(?)	Alavi (1996)
	Kermanshah	95-98 (Ar/Ar)	Post-Campanian	Lippard et al. (1986)
	Sahneh	86.3?	(?)	Delaloye and Desmons (1980)
	Neyriz	93-95 Ma (Ar/Ar)	89 Ma (Ar/Ar)	Ghazi et al. (1999), Lanphere and Pamic (1983), Sarkarinejad (1994)
South-Central		96-98 Ma (Ar/Ar)	Post-Campanian	
			Pre-Maastrichtian	
	Naein	93-95 Ma (Ar/Ar)	Pre-Paleocene	Lippard et al. (1986), Sarkarinejad (1994), Hassanipak and Ghazi (2000)
	Shar-e-Babak	93 Ma (Ar/Ar)	Pre-Paleocene	Campbell et al. (2000), Aftabi and Fathi (1992), Tucker et al. (2000)
Makran	Baft-Espandagheh	Upper Cretaceous	Pre-Paleocene	Ghazi et al. (1997b), Hassanipak et al. (1996), Desmons and Beccaluva (1983), McCall (1997), Ghazi et al. (1999)
	Band-e-Zeyarat	140-142 (Ar/Ar)	Early Paleocene	
	Dar Anar			
	Ganj	135 K/Ar)	Early Eocene	McCall (1985),
East-Northeast	Remeshk/Mokhtar	Late Jurassic-	Early Paleocene	McCall (1985), Desmons and Beccaluva (1983), McCall (1997), Hassanipak et al. (1996)
	Abad	Early Cretaceous		
	Iranshar	Upper Cretaceous	Pre-Paleocene	
	Fanuj-makustan	Upper Cretaceous	Pre-Paleocene	
		Upper Cretaceous		
NW	TchehelKureh	Upper Cretaceous	Pre-Paleocene	Desmons and Beccaluva (1983), Lippard et al. (1986), Delaloye and Desmons (1980)
	sabzevar	52.4 (Ar/Ar)	Post-Paleocene	Hassanipak et al. (2002), Lensch et al. (1977), Lensch (1980), Shojaat (1999)
	Mashhad	277-281 (Ar/Ar)	Pre-Jurassic	Ghazi et al. (1999), Alavi (1996), Alavi (1992), Hassanipak et al. (2002)
	Lahroud	245-187 Ma (Ar/Ar)	Paleozoic	This study

توالی از طریق قرار گرفتن بر روی توالی رسوبات پلاژیک بخوبی گسترش یافته‌اند. اللهیارلو مجموعه چینهای از افیولیت‌های نوع کلاسیک بوده که سنگ‌های نفوذی آن شامل گابروها، سنگ‌های نفوذی و دایک‌های ورقه‌ای شکل هستند. در مجموع، سری اللهیارلو توسط دو گسل اصلی، گسل انگوت در مجموعه با روند شمال‌غرب–جنوب‌شرق و گسل اللهیارلو در غرب با روند شمالی–جنوبی قطع شده است (شکل ۲). احتمالاً به علت این گسل‌خوردگی، سنگ‌های گوشته تنها بصورت برون‌زدگی‌های بسیار کوچک در امتداد گسل‌های فوق دیده می‌شوند.

سنگ‌های لایه‌لایه‌ای آهکی بخصوص در قسمت‌های فوقانی مجموعه الیتی هستند و به رنگ سفید و قرمز، همراه با فسیل‌های پالئوزوئیک پسین، بصورت ناپیوستگی دگرشیب، بر روی سنگ‌های آتش‌شانی، مافیک و دگرگونی قرار گرفته‌اند. بطور کلی این مجموعه دارای یک هسته اولترامافیک–گابرویی است که دارای یک توالی از دایک‌های دیاباز ورقه‌ای شکل بوده که بر روی یک توالی حفظ شده از سنگ‌های گابرویی قرار گرفته است. این دایک‌ها تقریباً موازی با امتداد افیولیت هستند، اما فقط در بعضی از قسمت‌های این منطقه رخنمون دارند (شکل ۲). این



شکل ۲. نقشه زمین‌شناسی منطقه اللهیارلو بر روی برگه زمین‌شناسی ۱:۱۰۰۰۰۰ لاهرود



شکل ۳. تصاویری از واحدهای سنگی منطقه، آهک‌های بعد از پالنزوئیک بر روی مجموعه گابرو، واحدهای الترامافیک، گدازه‌های بالشی و سرپانتینیت نشسته است. (الف) واحد الترامافیک که در بخش‌هایی تبدیل به سرپانتین شده است. (ب) دایک‌های دیاباز، گابرو و گدازه‌های بالشی در الهیارلو. (ج) آهک‌های پلازیک دارای تراکمی زیاد از چرت. (د) لیستونیت (در حاشیه جنوبی و جنوب غربی توده الترامافیک الهیارلو)

میلیون سال سن دارد. توالی پوسته‌ای به طور گستردگی از گابروها تشکیل یافته است که به صورت توده‌های نسبتاً کوچک و تکه‌های مجزا در اثر رخدادهای تکتونیکی هستند (شکل ۴ ج، د). رخمنون‌های سرپانتینیتی بصورت سنگ‌های اولترابازیک دگرگون شده در این توالی قابل مشاهده هستند.

۱- گابرو

با سن جوان‌تر از متاگابرو فوق که بعد از آن شکل گرفته، با بافت‌های اینترگرانولار و اینترسروتال متاگابرو با بافت پورفیری از فنوکریست‌های پلاژیوکلاز ($70\%-60\%$)، پیروکسن ($40\%-30\%$)، و آمفیبول‌ها ($5\%-10\%$) تشکیل یافته است (شکل ۴ ج).

سنگ‌شناسی منطقه مورد مطالعه سنگ‌های نفوذی

سنگ‌های آذرین درونی منطقه شامل سنگ‌های مافیک و اولترامافیک هستند، که بخش بزرگی از این مجموعه افیولیتی را تشکیل داده‌اند. براساس مطالعات انجام شده، این سنگ‌ها دارای بافت‌های اینترگرانولار و اینترسروتال می‌باشند. متاگابرو دارای زمینه‌ای پورفیری از فنوکریست‌های پلاژیوکلاز ($60\%-70\%$)، پیروکسن ($40\%-30\%$)، و آمفیبول‌ها ($5\%-10\%$) می‌باشد (شکل ۴ الف و ب). بیشتر این سنگ‌ها تحت تأثیر رخدادهای دگرگونی (آمفیبول-مسکویت‌شیست) نیز قرار گرفته‌اند، آمفیبولیت منطقه توسط افتخارتزاد و بهروزی (۱۹۹۱) و حسن پور (۲۰۱۸) مورد تعیین سن قرار گرفته و سنی معادل

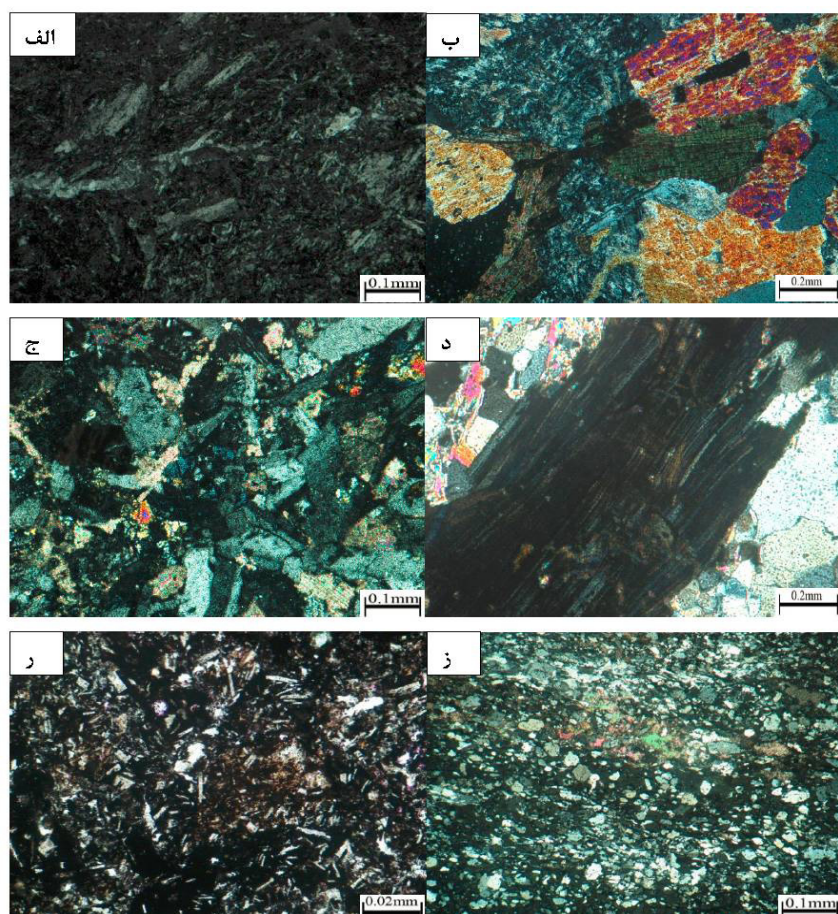
تشکیل شده‌اند. واحد سنگ‌آهک قرمز رنگ حاوی ژاسپر و چرت می‌باشد (شکل ۴ ر).

۳- سنگ‌های دگرگونی

برخی از سنگ‌های دگرگون شده در منطقه رخمنون دارند از نوع شیست با درشت بلورهایی از نوع مسکویت و سیلیمانیت می‌باشند (شکل ۴ ج، ر). برونزدهای سرپانتین نیز در منطقه، رخمنون‌های تالکی و سبز رنگ را نشان می‌دهند (شکل ۴ ز).

۲- سنگ‌های آتشفسانی

سنگ‌های خروجی در مجموعه افیولیت‌اللهیارلو اکثراً به صورت جریان‌های توده‌ای و رخمنون‌های بلوکی (مکعبی) و به ندرت به صورت گدازه‌های بالشی دیده می‌شوند. گدازه‌های بالشی بازالتی و آندزیت بازالتی اغلب دگرگون شده‌اند. در نمونه‌های دستی، این سنگ‌ها اکثراً دارای بافت آفیریک هستند. در قسمت بالایی ناحیه، گدازه‌های بالشی بوسیله سنگ‌های آهکی حاوی فسیل‌های عمق‌زی (پلازیک) پوشیده می‌شوند. این بلوک از سنگ‌آهک و چرت‌ها، از چند متر تا ده‌ها متر و در اندازه‌های متفاوت



شکل ۴. تصاویر میکروسکوپی از سنگ‌های مجموعه اللهیارلو، (الف) گابروهای دایک مانند، (ب) متاگابرو، (ج) گابروهای جوان‌تر در افیولیت اللهیارلو، (د) سنگ‌های دگرگونی دارای سیلیمانیت، (ر) بازالت‌های نسبتاً سالم. اغلب اسپیلیتی شده‌اند، (ز) آمفیبول مسکوویت شیست دگرگون شده

روش‌های تجزیه شیمیایی ICP-OES و ICP-MS

تعداد هفت نمونه از این مجموعه سنگ‌شناختی انتخاب و برای تجزیه عناصر کمیاب و عناصر نادر خاکی (REE)، با روش‌های تجزیه شیمیایی ICP-OES و ICP-MS در آزمایشگاه امدل استرالیا مورد آنالیز شیمیایی قرار

پتروگرافی سنگ‌های منطقه

تعداد ۳۵ نمونه از سنگ‌های با دگرسانی پایین از این مجموعه نمونه‌برداری شد. این نمونه‌ها پس از تهیه مقاطع نازک، در زیر میکروسکوپ مورد مطالعات سنگ‌شناسی قرار گرفتند و نوع سنگ‌ها شناسایی گردید.

کندریت‌هاست. الگوی REE برای نمونه‌های بازالتی در شکل ۶ نشان داده شده است. سنگ‌های آتشفشنائی با غنی‌شدگی متوسط REE $(\text{La}_N/\text{Sm}_N)$ با میانگین $= ۳/۳$ و همراه با آنومالی‌های مثبت Eu مشخص می‌شوند $(\text{Eu}/\text{Eu}^* = ۱/۶)$. الگوی REE برای REE از نمونه‌های بازالتی الگوی سایر نمونه سنگ‌های نفوذی منطقه است (شکل ۶ الف و ب). الگوی REE از نمونه‌های بازالتی الهاپارلو به طور کلی متمایز از الگوی نمونه‌های دیابازی مجموعه مشهد (شفایی مقدم و همکاران، ۲۰۱۴)، و متفاوت از الگوی گدازه‌های بالشی است. الگوهای بازالتی REE افیولیت‌های مشهد فاقد REE سبک هستند. قابل ذکر است، الگوی نمونه‌های الهاپارلو به الگوی REE نمونه‌های بازالت‌های بالشی و بازالتی افیولیت‌های مشهد در شمال ایران (شفایی مقدم و همکاران، ۲۰۱۴) شباهت دارد و در کل الگوهای غنی‌شدگی شدیدی از LREE نشان می‌دهند $(\text{La}_N/\text{Sm}_N)$ با میانگین $= ۳/۴۷$. الگوهای REE، به همراه Eu، یکدیگر با مشابه‌ی آشکار در الگوی REE و آنومالی Eu مشخص می‌کنند که این سنگ‌ها باید همزاد بوده و از خانواده ماجمایی یکسانی نشأت گرفته‌اند. الگوی REE متاگابرو و پلازیوگرانیت در شکل ۶ پ نشان داده شده است. این الگوها به موازات بازالت‌ها و گابرو، به همراه غنی‌شدگی از عناصر LREE تقریباً یکسان $(\text{La}_N/\text{Sm}_N)$ با میانگین $= ۱/۵۹$ و الگوی Eu مشاهده هستند $(\text{Eu}/\text{Eu}^* = ۰/۸۱)$. اگرچه، غلظت کلی REE در آن‌ها با میانگین $= ۰/۸۱$. این را بر اینتر بوده و بین ۱۰۰ تا ۱۵۰ برابر کندریت‌ها می‌پاشد.

۲- مطالعات چینه‌شناسی

رادیولاریت‌های دارای میان لایه‌های توربیدیتی و گدازه‌ها در بخش ایرانی زمین درز پالئوتیس پرمین زیرین قرار دارد (افتخارنژاد و بهروزی، ۱۹۹۱)، این واحد چینه‌ای از لحاظ سنی اواخر پرمین پیشین یا اواسط پرمین (زانچتا و همکاران، ۲۰۱۳)، یعنی تقریباً ۲۶۰ تا ۲۹۰ میلیون سال قدمت دارد. این سن‌ها با سن سنجی آرگون-آرگون $(^{40}\text{Ar}-^{39}\text{Ar})$ هورنبلاند گابرو از افیولیت مشهد با سن ۲۸۸ تا ۲۸۲ میلیون سال (قاضی و همکاران، ۲۰۰۱) و با پلازیوگرانیت‌های انارک با سن سنجی به روش زیرکن اورانیم-سرب $(\text{U}-\text{Pb})$ (۲۶۲.۳ ± 1 میلیون سال) مطابقت دارند (رخمنون افیولیت‌های پالئوزوئیک در ایران مرکزی، و

گرفتند. حد تشخیص برای عناصر نادر خاکی $۰/۵$ تا $۱/۱$ بی‌بی‌ام بوده است. نتایج آنالیز عناصر کمیاب و نادر خاکی مربوط به سنگ‌های منطقه در جدول ۲ آورده شده است. لازم به ذکر است که نتایج آنالیزهای عناصر اصلی نمونه‌ها با توجه به محدودیت از سوی سازمان وابسته، ارائه نگردید.

مطالعه نمونه‌های سنگی از نظر چینه‌شناسی

سیزده نمونه مقاطع نازک سنگ رسوبی عمدتاً از واحد آهکی پلازیک و چرت‌ها از مجموعه افیولیت الهاپارلو برای مطالعات بیواستراتیگرافی تهیه شدند. در یک برش عرضی، میکروفیزیل‌های فرامینیفر در نهشته‌های رسوبی در ۱۳ مقطع نازک مورد مطالعه قرار گرفت. نتایج حاصل از مطالعات مقاطع نازک و نمونه‌های تهیه شده در شکل ۷ نشان داده شده‌اند و در جدول ۳ نیز مشخصات هر کدام از آن‌ها با ذکر منابع بطور خلاصه نشان داده شده است.

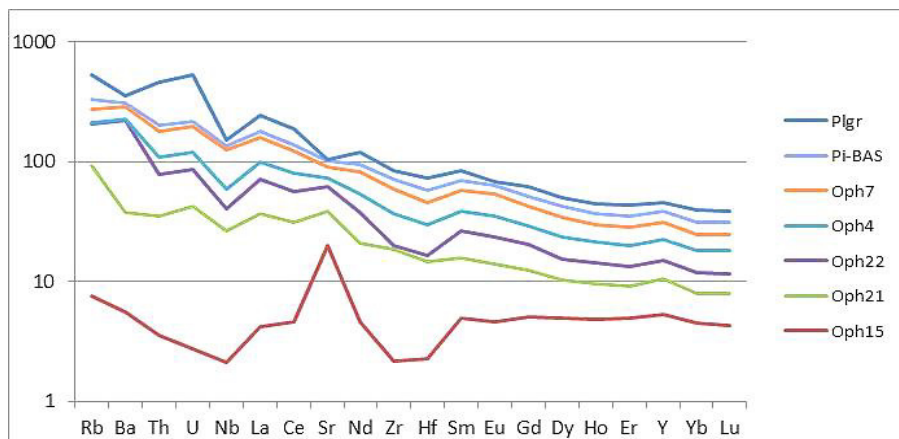
نتایج

۱- ژئوشیمی عناصر نادر خاکی

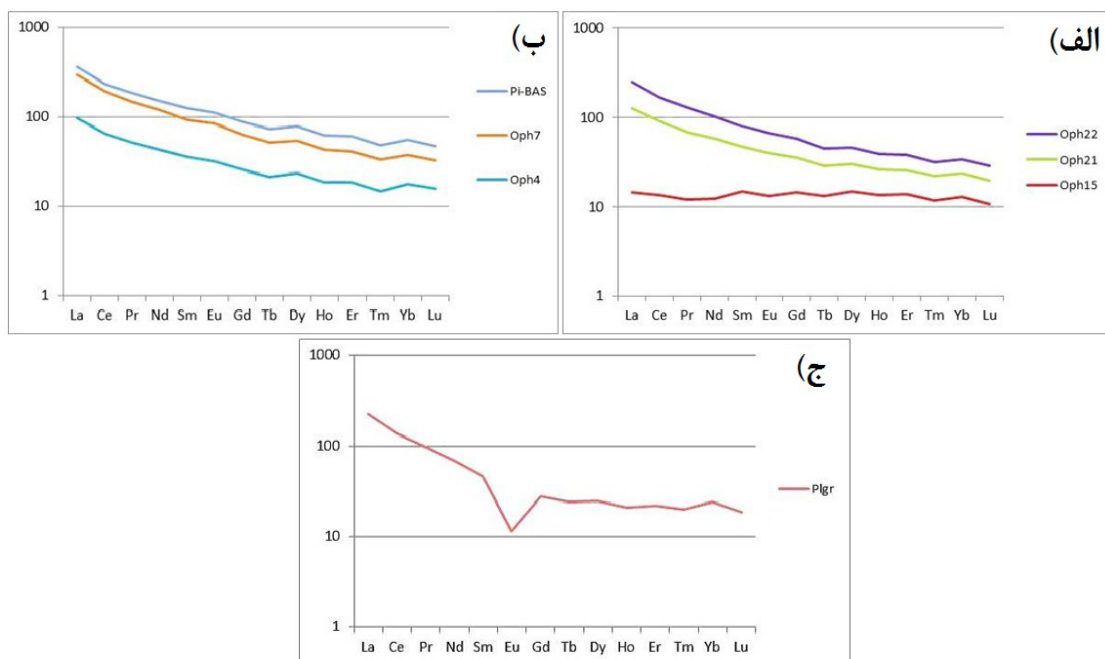
در جدول ۲ نتایج آنالیز عناصر نادر خاکی مربوط به سنگ‌های منطقه مورد مطالعه نشان داده شده است. شکل‌های ۵ و ۶ الگوهای عناصر نادر خاکی بهنجار شده نسبت به کندریت‌ها را برای تمام توالی سنگ‌ها در یک برش از افیولیت الهاپارلو نشان می‌دهد، که نشان‌دهنده توالی آذرین افیولیتی و مقدار فراوانی عناصر نادر خاکی است. در شکل ۶ الف، الگوهای عناصر نادر خاکی برای سنگ‌های گابرو و متاگابرو نشان داده شده است. گابروها دارای غلظتی معادل $۱۵۰-۱۰۰$ کندریت از عناصر نادر خاکی بوده و الگوی غنی‌شدگی در عناصر نادر خاکی سبک $(\text{La}_N/\text{Sm}_N)$ با میانگین $= ۰/۸۱$ ، و N به معنی کندریت نرمال شده است و اندکی غنی‌شدگی در عناصر نادر خاکی میانی را نشان می‌دهند. کانی‌شناسی اولیه نادر خاکی میانی در برگیرنده هورنبلاند و به مقدار کمتری پلازیوکلاز می‌پاشد. غلظت کلی MREE در گابروها اندکی بالاست (تقریباً ۱۰ کندریت)، هرچند Eu در آن‌ها ناهنجاری‌های مثبت کوچک‌تری نیز نشان می‌دهد $(\text{Eu}/\text{Eu}^* = ۰/۳۲)$. الگوی REE در این نمونه متاگابرو، الگوی صاف همراه با اندکی غنی‌شدگی در REE و الگوی مشابه با

Earlandia, *Nodosinella*, *Endothyra baileyi* is probably synonymous to *Globoendothyra baileyi* (Mississippian/Carboniferous), *Pachyphloia*, *Paratikhinella*, A piece of *Fusulinella (Staffella)*, A piece of Bivalve, *Paleotextularia* sp., *Endostafella*, *Nodosinella* cf. *cylindrica*, *Nodosinella* cf. *concinna*, *Pseudokahlerina* sp., *Laxoendothyra*, *Nodosinella* sp., *Pseudokahlerina compressa*, *Pachyphloia ovata*.

۳۸۰-۳۸۲ میلیون سال در افیولیت دره انجیر منطقه مشهد). در این مطالعه مشخص گردید که رسوبات کربونیfer با توالی نسبتاً کاملی با نهشته‌های پرمین در ارتباط هستند. وجود برخی از فرامینیفرها نظیر پالئوتکستولاریا در نمونه‌های برش مطالعه بیانگر وجود آب‌های گرم دریای باز می‌باشد. از گونه‌های متنوع و میکروفسیل‌های متعلق به زمان کربونیfer و پرمین می‌توان به برخی از شاخص‌های زیر اشاره نماییم:



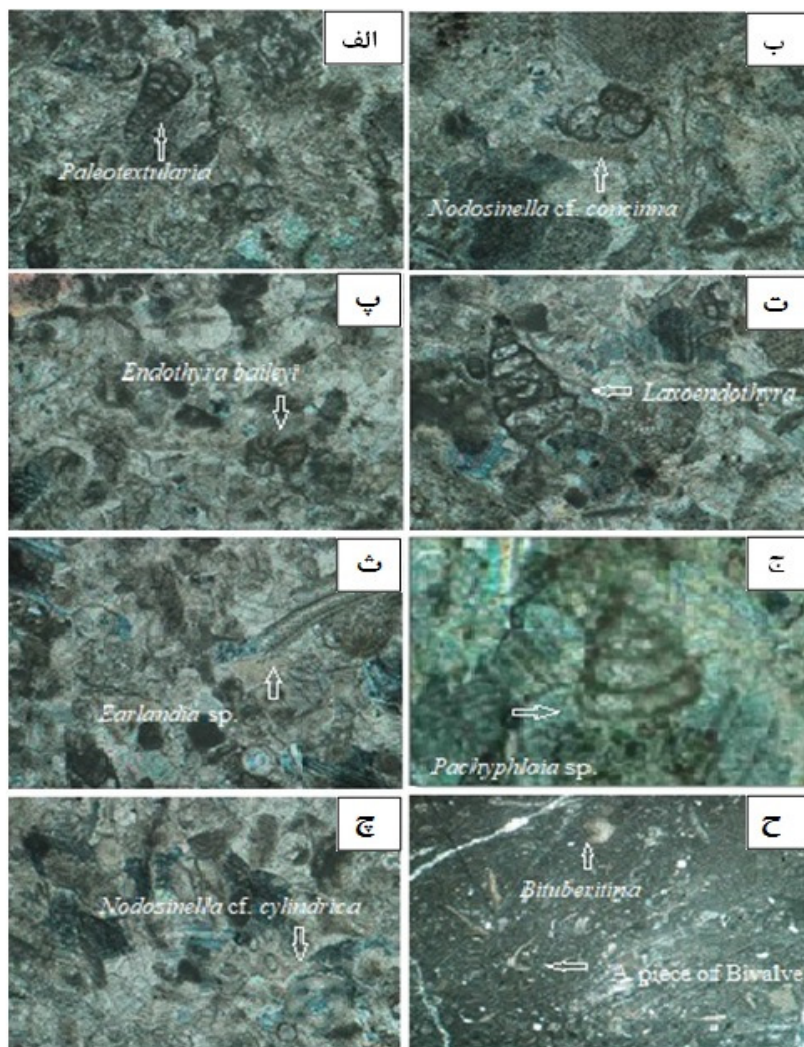
شکل ۵. نمودار عناصر کمیاب و نادر خاکی در نمونه‌های مجموعه ال‌لیهارلو که نسبت به گوشته اولیه بهنجار شده‌اند.



شکل ۶. الگوی عناصر نادر خاکی که نسبت به کندریت‌ها بهنجار شده است، (الف) گابروهای جوان و قدیمی، (ب) بازالت‌ها و دیابازها، (ج) پلازیوگرانیت با ناهنجاری‌های مثبت و ملایم

جدول ۲. آنالیز شیمیایی عناصر نادر خاکی در نمونه‌های انتخابی از افیولیت الهیارلو

Sample No.	La	Ce	Pr	Nd	Sm	Eu	Gd	Tb	Dy	Ho	Er	Tm	Yb	Lu
Unit	pp m	pp m	pp m	ppm	pp m	pp m	pp m	pp m	ppm	pp m	ppm	ppm	pp m	pp m
Oph15	2.9	8.2	1.2	6.18	2.2	0.7	8	3	0.5	3.6	0.8	2.3	0.35	2.2
Oph21	22.3	46.8	5.6	22.2	4.8	1.5	4.4	0.6	3.8	0.76	2.0	0.3	1.7	0.2
Oph22	24.3	46.1	6.2	23.1	4.7	1.6	4.6	0.6	3.8	0.78	2.0	0.3	1.8	0.2
Oph4	19.5	40.1	5.2	21.7	5.4	1.9	5.4	0.8	5.8	1.14	3.2	0.45	3.0	0.4
Oph7	40.6	79.1	9.7	38.4	8.5	3.1	8.0	1.2	7.8	1.46	3.8	0.55	3.3	0.5
Pi-BAS	12.7	26.4	3.8	16.9	4.8	1.6	5.3	0.8	6.0	1.16	3.3	0.45	3.0	0.4
Plgr	45.9	83.5	34.2	7.0	0.7	5.8	8	6	1.28	3.8	0.6	4.1	0.5	6



شکل ۷. (الف) (Mississippian) *Nodosinella* cf. *concinna*, (ب) (Pennsylvanian) *Paleotextularia* (Pennsylvanian, Carboniferous), (ت) (Tournaisean to Visean) *Laxoendothyra*, (ث) (Tournaisian to Visean) *Endothyra* baileyi (Pennsylvanian, Carboniferous), (ج) (Middle) *Nodosinella* cf. *cylindrica* (Middle) *Pachyphloia* (Middle) (ه) (Bituberitina) (Middle) (د) (A piece of Bivalve) (Middle)

جدول ۳. اجزای موجود در سنگ‌آهک پلازیک و چرت‌های توالی افیولیت‌اللهیارلو

Samples	Fossils	Age	Reference
Oph2	Nodosinella cf. concinna	Upper Mississippian, Carboniferous	Brady, 1876
Oph3	Nodosinella cf. cylindrica	Upper Mississippian to lower Pennsylvanian, Carboniferous	Brady, 1876
Oph6	Endothyra baileyi	Mississippian, Carboniferous	Hall, 1858
Oph7	Endostaffella		Rozovskaya, 1961
Oph11	Staffella molleri	Pennsylvanian, Carboniferous	Ozawa, 1925
Oph12	Bituberitina bicamerata Miklukho	Mississippian; central Asia	Maklay, 1965
Oph13	Paleotextularia grahamensis	Upper Pennsylvanian	Cushman & waters, 1927

اینجا به جهت مقایسه، اطلاعاتی از سایر افیولیت‌های پالئوزوئیک ایران از جمله: اکلوزیت‌های کربنیفر میانی در رشت، به همراه سنگ‌های آغازین بازالتی و گابروها، مطالعاتی توسط زانچتی و همکاران (۲۰۰۹) و اطلاعاتی از متاگابرو دونینین تا پرمین و متابازیت از افیولیت جندق-انارک با SSZ وابستگی ژئوشیمیایی و گدازهای نوع MORB جمع‌آوری و مقایسه شده است (بوجز و همکاران، ۲۰۱۳). در ادامه حوضه پالئوتیس، مطالعات در شمال‌شرق ایران حاکی از این است که گابروهای مشهد در دره‌انجیر از HFSE ها تهی‌شدگی و از لحظه REE ها غنی‌شدگی نشان می‌دهند. این محققین بر طبق نسبت‌های عنصر کمیاب، نتیجه گرفتند که بیشتر سنگ‌های این منطقه نشان‌دهنده افزایش ماده مذاب/سیالات از رسوبات فروزانده شده یا آلایشی پوسته قاره‌ای هستند. گدازهای پرمین فریمان، نشان‌دهنده آرایه گوشه‌ته MORB غنی شده، حاوی تأثیرات فروزانشی هستند، مشابه آن چیزی که ممکن است توسط منشاء گوشه‌ته تهی شده به وجود آمده باشد. سنگ‌های آذرین مشهد بین سنگ‌های با نسبت توریم/ نیوبیم بالای دره‌انجیر و سنگ‌های با نسبت توریم/ نیوبیم پایین فریمان کشیده شده‌اند و سنگ‌های اللهیارلو نیز از این نظر بیشتر به محدوده تغییرات این سنگ‌ها در مشهد نزدیک‌ترند. این محققین افیولیت‌های مشهد را با بیشتر سنگ‌های ماغماهی از جندق-انارک، رشت، و افیولیت‌های آق‌دریند که با مشخصه موقعیت فروزانشی ظاهر شده‌اند، مقایسه نمودند، اما کماکان وضعیت داده‌های فوق در اللهیارلو به موقعیت نمونه‌های مشهد بسیار شبیه‌تر است (حسن‌پور، ۲۰۱۸).

بحث

نتایج مطالعات جدید در این تحقیق، بر درک سه جانبی از از سری مافیک-اولترامافیک افیولیت‌اللهیارلو متمرکز است: تمرکز بر پراکندگی سنی و فسیل‌شناسی برای دریافت شرایط پتروژن آن؛ مقایسه الگوی پراکندگی عناصر نادر خاکی آن با سایر افیولیت‌های پالئوزوئیک در آسیا و بازسازی مفهوم تکتونیک کلی آن در مقیاس ناحیه‌ای.

۱- پراکندگی زمانی افیولیت‌های ایران

تنوع افیولیت‌های ایران بطور عمده باعث تقسیم‌بندی آن‌ها از لحظه زمانی شده است، به گونه‌ای که آن‌ها را متعلق به دو گروه عمده پالئوتیس و نئوتیس تقسیم‌بندی نموده‌اند. حوضه پالئوتیس ایران در بخش‌های شمال‌شرق ایران بخوبی شناخته شده است. در ناحیه رشت-شاندمن هم ادامه این روند توسط زمین‌شناسان به اثبات رسیده بود ولی ادامه آن پیوسته برای زمین‌شناسان کشور، بصورت معتمدی باقی مانده است. هرچند که بربیریان (۱۹۸۱) در یک گزارش منتشر نشده، احتمال داده است که این افیولیت می‌باشد متعلق به پالئوتیس باشد.

۲- شواهد ژئوشیمیایی

نسبت‌های مختلف عنصر کمیاب در افیولیت‌اللهیارلو جهت مقایسه با سنگ‌های افیولیتی شمال و شمال‌شرق کشور مطالعه شده است (حسن‌پور، ۲۰۱۸). سنگ‌های آتشفسانی و آذرین اللهیارلو نشان‌دهنده ویژگی MORB و از سری کالک‌آلکالن هستند. این سنگ‌ها اختصاصات REE با منشأ پوسته‌ای غنی شده را نشان می‌دهند. در

منطقه گسلی هرات- اکباتان رسوبات پلاژیک دونین همراه با گابرو، سرپانتین و سنگ‌های آتشفشنای گزارش شده است، که می‌تواند نشانه شکاف پالئوزوئیک باشد. در شمال شرق افغانستان، سنگ‌های آتشفشنای ارسوبی کربنیفر پسین همراه با گدازه‌های کالک‌آلکالن و سنگ آهک‌های فسیل‌دار دربایی کم عمق دیده می‌شود (در مناطق غرب هندوکش و بدخشان) که احتمالاً حاکی از ماقماتیسم فعال حاشیه قاره‌ای است. فلاٹ تبت نیز بازمانده اقیانوسی پالئوتیس و جدایش بین ابر قاره‌های لوراسیا و گندوانا از زمان پالئوزوئیک است (شنگور و ناتالین، ۱۹۹۶). در حرکت به سمت شرق، گدازه‌های بالشی شمال- شمال‌شرق تاجیکستان سنگ‌آهک‌های پلاژیک میان لایه‌ای با سن فامینین- تورنیزین (۳۶۰ میلیون سال) و شواهدی از کمان بازمانده پوسته اقیانوسی را نشان می‌دهند (جیانگ و همکاران، ۱۹۹۲). فرورانش لیتوسفر پالئوتیس در این منطقه از پالئوزوئیک میانی و دقیقاً در دونین شروع شده است (شنگور و ناتالین، ۱۹۹۶؛ هیوبک، ۲۰۰۱؛ اسشواب و همکاران، ۲۰۰۴). توده‌های نفوذی کالک‌آلکالن کربونیفر پسین- پرمین پیشین و فعالیت‌های آتشفشنای در مناطق مدیترانه‌ای و قفقاز نشان‌دهنده فرورانده شدن قسمت شمالی پالئوتیس به زیر صفحه اوراسیا است (استامپفلی و بورل، ۲۰۰۲؛ رولند و همکاران، ۲۰۱۱). سنگ‌های دگرگونی دما بالا- فشار پایین در جنوب گرجستان با سن ۳۰۳ میلیون سال به روش سن‌سنجد Ar-Ar کربونیفر و سنگ‌های فشار بالا در قسمت شمالی ایران (مجموعه شاندرمن در افیولیت رشت) با سن ۳۳۰ میلیون سال به روش سن‌سنجد Ar-Ar به عنوان شواهد فرورانش پالئوتیس تفسیر می‌شوند. هرچند که فرورانش قسمت شمالی بر کمربنده کوه‌زایی آسیای مرکزی (CAOB) غالب است، در مقابل قطبیت فرورانش مرتبط با تصادم بلوک‌های خردۀ قاره‌ای نیز متدابول است. فرورانش قسمت جنوبی به زیر بخش شمالی کمان تیان‌شان (جنوب‌شرق قزاقستان، در داخل CAOB) عامل تولید پلاژیوگرانیت‌های نوع SSZ با سن ۳۴۳ میلیون سال و گابروها با سن ۳۰۲ میلیون سال و نوع E-MORB (نوع OIB) بوده است (لی و همکاران، ۲۰۱۴). کمان کولون مربوط به دوره کربونیفر در شمال پامیر و شمال‌غرب تبت همراه با ماقماتیسم در تاجیکستان نیز مربوط به فرورانش

۳- شواهد دگرگونی

توده سنگ‌های دگرگون شده‌ای بین قفقاز بزرگ تا شمال و قفقاز کوچک تا جنوب قرار دارند (زاکاریادز و همکاران، ۲۰۰۷)، و در بردارنده شواهدی از سنگ‌های افیولیت دگرگون شده مربوط به اوایل پالئوزوئیک می‌باشند؛ از جمله می‌توان به دایک‌های ورقه‌ای و گدازه‌های بالشی اشاره نمود (گامکری لیدزه و همکاران، ۱۹۹۹؛ رولاند و همکاران، ۲۰۱۱). یک منطقه تکتونیکی بصورت آمیزه رنگین، در شمال خط زمین درز سوان- آکرا به همراه قطعات جابجا شده سنگ‌های پالئوزوئیک میانی (سرپانتین‌ها، آمفیولیت‌ها، فیلیت‌ها، گرانیت‌ها و سنگ‌های آتشفشنای غنی از سیلیس) تحت تأثیر دگرگونی واریسکان اولیه قرار گرفته و بنا به سن‌سنجد Ar-Ar مربوط به ۳۳۰-۳۳۶ میلیون سال پیش است (زاکاریادز، ۲۰۰۷؛ تریلوار و همکاران، ۲۰۰۹). این سنگ‌ها ممکن است نشان‌دهنده یک منشور برافزایشی به همراه قطعاتی از لیتوسفر اقیانوسی و بخش‌هایی از رسوبات آتشفشنای در موقعیت کمان‌های قاره‌ای در حاشیه اوراسیا باشند. این واحدها مشابه وضعیت چینه‌شناسی صفحه اقیانوسی (OPS) است و با رخمنون دیر هنگام سنگ‌های دگرگونی فشار بالا و ماقماتیسم گرانیتی پست بر افزایشی همراه است. این شواهد در افیولیت اللهیارلو نیز وجود دارد و در تعیین سن انجام شده متعلق به ۳۴۰ میلیون سال پیش بوده است.

۴- شواهد فرورانش و رسوبات پلاژیک

شواهد فرورانش در منطقه ترکمن در ترکمنستان شامل رسوبات عمیق اقیانوسی و افیولیت‌های پالئوزوئیک پیشین تا دونین پسین است (بولین، ۱۹۸۸، ۱۹۸۰) (شکل ۸). در منطقه شمال- شمال‌غرب آق‌دریند، در مناطق کیزیل‌ای و تاور ترکمنستان، رخمنون‌هایی از پوسته اقیانوسی به همراه ۲۰۰ متر ضخامت چرت‌های شیستدار و ۱۰۰ متر ضخامت پیروکسن، دیاباز گابرو و گدازه‌های بالشی به همراه رادیولاریت‌های بین لایه‌ای از کربونیفر پیشین تا میانی وجود دارد (میرزاخانوف، ۱۹۸۹). در افغانستان واحدهای سنگی پالئوزوئیک پیشین تا دونین پسین شامل فلیش‌های کامبرین- اردوسین تا سیلورین است که احتمالاً نشان‌دهنده پالس‌های انتشار پالئوتیس می‌باشد (بولین، ۱۹۸۸). در

ژوراسیک پیشین نیز برای بسته شدن پالئوتیسیس همواره مد نظر است که احتمالاً به دنبال ریفتینگ پس از برخورد در ژوراسیک میانی و نهشته شدن سازند کشفرورد اتفاق افتاده است (ربرت و همکاران، ۲۰۱۴). نفوذ توده گرانیتی-گرانولیتی در افیولیت‌های مشهد-تر بت جام با داده‌های سنی زیرکون (U-Pb) 215 ± 4 تا 217 ± 4 (کریمپور و همکاران، ۲۰۱۰) و 199.8 ± 3.7 تا 217 ± 4 میلیون سال همراه است. میرزا و همکاران (۲۰۱۳) و زانچتا و همکاران (۲۰۱۳) چنین استدلال می‌کنند که فروزانش لیتوسفر اقیانوسی پالئوتیسیس به سمت شمال در امتداد حاشیه جنوبی اوراسیا و حداقل در نواحی ترکیه، قفقاز، ایران و افغانستان در دوره پالئوزوئیک میانی تا پسین اتفاق افتاده است (برای مثال، علوی، ۱۹۹۱؛ روتر، ۱۹۹۳؛ زانچی و همکاران، ۲۰۰۹) (شکل ۸). در تطابق با موضوع فوق، الهیارلو بخشی از زمین درز پالئوتیسیس در شمال‌غربی ایران، با یک رویداد دگرگونی در 347 میلیون سال پیش به عنوان بخشی از رژیم دگرگونی آن، در زیر یک پوسته ضخیم اقیانوسی اتفاق افتاده و فرآیند فروزانش می‌تواند علت بسته شدن نهایی حوضه و ایجاد سیستم افیولیتی در این منطقه را نیز توضیح دهد (شکل ۸). کمربند پالئوتیسیس که متعلق به سری دونین-پرمین دره انجیر-مشهد است، حوضه اقیانوسی پالئوزوئیک دیگری را نشان می‌دهد. قفقاز-کوراملنگ (ترکیه) در امتداد مرزهای غربی محدوده سکایی دربردارنده توربیدیت‌ها و بلوک‌های بیگانه سنگ آهک‌های پلازیک کربنیفر-پرمین می‌باشند و پیشنهاد می‌کنند که پالئوتیسیس تا ترکیه به سمت غرب، کشیده شده است.

نتیجه‌گیری

یافته‌های بدست آمده از این تحقیق مشخص می‌کند که (۱) افیولیت الهیارلو سری افیولیتی با یک زون مشخص از بازلات‌های دگرگونی در اقیانوس مزووتیسیس است؛ (۲) تقریباً افیولیت الهیارلو شامل تمام لیتلولوژی‌های مورد نیاز برای یک افیولیت را دارد؛ (۳) گدازه‌های جریانی آتشفسانی رایج‌ترین واحد سنگ‌شناسی در منطقه هستند و به طور وسیعی در بردارنده سنگ‌آهک‌های پلازیک و چرت‌های رادیولاریتی هستند. نتایج مطالعات چینه‌شناسی و سن‌سنگی رادیومتری بر روی متاگابروی

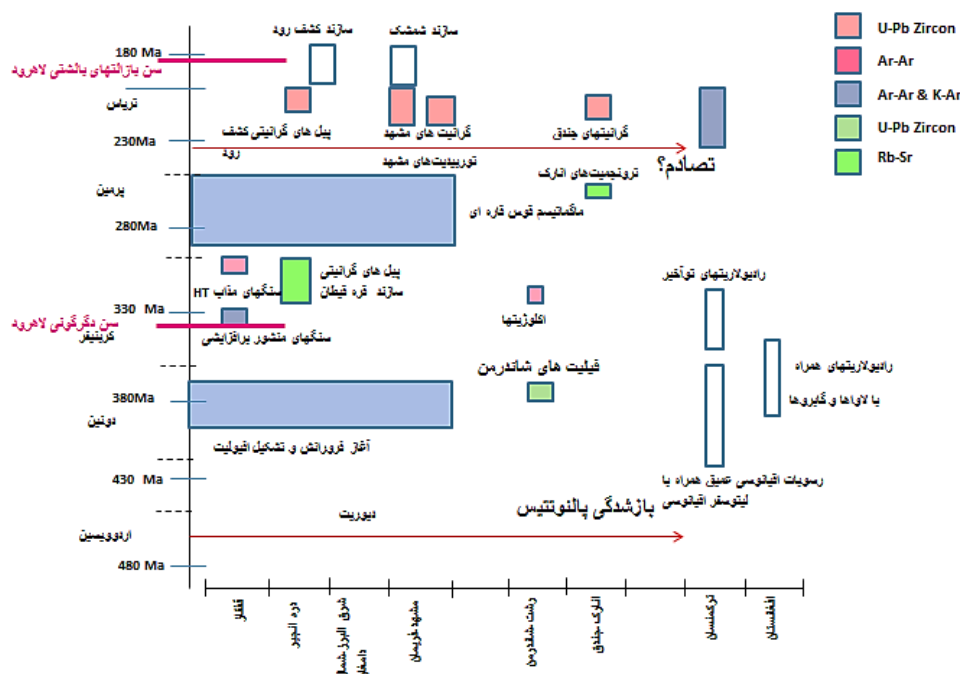
شمالی حوضه پالئوتیسیس می‌باشد (شواب و همکاران، ۲۰۰۴).

مهم‌ترین پالس شکل‌گیری افیولیت‌های ایران در طی دوران پالئوزوئیک پیشین تا میانی، با بخش‌های ریفتی در حاشیه شمالی گندوانا و اشتقاء این قطعات از شمال همزمان بوده است (شکل ۸). سرگذشت زمین‌شناسی ایران نشان می‌دهد که پالئوتیسیس در اردوبیسین (استامپفلی، ۱۹۷۸؛ استامپفلی و همکاران، ۱۹۹۱) با شروع فروزانش 380 میلیون سال پیش شروع به باز شدن کرده است (شکل ۸). آغاز فروزانش در حاشیه جنوبی اوراسیا ممکن است طولانی‌تر بوده باشد، زیرا افیولیت‌های ترکمنستان و قفقاز نشان‌دهنده پوسته اقیانوسی کربنیفر نوع SSZ هستند. زانچتا و همکاران (۲۰۱۳) به این نتیجه رسیده‌اند که واحدهای روسی-آتشفسانی پالئوزوئیک در اطراف فریمان و دره‌انجیر در طول زمان پرمین نهشته شده‌اند که شامل توربیدیات‌های سیلیسی آواری مشتق شده از فرسایش کمان ماگمایی و بی‌سنگ آن، همراه با کربنات‌ها و جریان‌های گدازه‌ای بازالتی کالک-آلکالن و سری (قلیایی) حدواسط است. از این نظر، سنگ‌های آذرین فریمان-دره انجیر به عنوان بقایای کمان ماگمایی در حاشیه جنوبی اوراسیا، بالاتر از ناحیه فروزانشی پالئوتیسیس در منطقه شمالی، که حاشیه فعال از زمان کربنیفر بوده، تلقی می‌شوند (زانچتا و همکاران، ۲۰۱۳). به اعتقاد شفایی‌مقدم و همکاران (۲۰۱۴)، داده‌های ژئوشیمیایی و سنی U-Pb، پیدایش پریدوتیت‌ها با لایه‌های دونینی و دایک‌های کلینوپیروکسینیت با کانی‌شناسی و خصوصیات ژئوشیمیایی، شبیه به آن‌هایی است که در پریدوتیت‌های مناطق عمیق همراه با بونینیت‌های دونین و گابرو-پلازیوگرانیت‌های کالک-آلکالن با سن‌سنگی زیرکن U-Pb، گویای تشکیل یک پالس پوسته اقیانوسی نوع SSZ در اوایل دونین پسین می‌باشد (شکل ۸). در ستاربیوی آن‌ها، ماگماتیسم پرمین و رسوبات آواری/پلازیک مرتبط با آن، ممکن است نشانگر ماگماتیسم و رسوب‌گذاری در موقعیت فروزانشی در حاشیه اوراسیا باشد، شبیه به یک کوهزایی برافزایشی همراه با تکه تکه شدن، پوسته اقیانوسی در دونین و سپس ماگماتیسم در پرمین اتفاق افتاده باشد. به طور کلی تصور بر این است که برخورد نهایی صفحه اوراسیا در زمان تریاس رخ داده است، اما زمان تریاس پسین-

برای این امر در نظر گرفت. این پروسه تا ۱۸۰ میلیون سال پیش ادامه داشته و با خروجی‌های آتش‌شانی بازالتی بالشی پایان یافته است. نتایج تحقیق حاضر نشان می‌دهد که افیولیت‌اللهیارلو مجموعه‌ای از روش Ar-Ar و مطالعات چینه‌ای از افیولیت‌های اللهیارلو نشان‌دهنده سن پرمیون است اما سن‌سنجی دقیق، ارتباط سنی ژوراسیک پیشین در گدازه‌های بالشی و سن کربونیفر پیشین برای واحدهای دگرگونی ارائه می‌دهد. این مطلب مشخص می‌سازد که قطعه دیگری از پالئوتیس در شمال‌غربی ایران و در امتداد زمین درز مشهد-رشت یافت شده است. این کشف، مدرکی قوی دال بر حضور پوسه اقیانوسی در زمان دونین تا ژوراسیک پیشین در شمال-غرب ایران می‌باشد.

دگرگون شده و بازالت (گدازه بالشی)، به وضوح مشخص می‌سازد که پالئوزوئیک پایانی زمان شروع بوجود آمدن افیولیت‌اللهیارلو بوده است. داده‌هایی که از مطالعات چینه‌شناسی سنگ‌آهک‌های پلازیک به دست آمده، همان سن رادیومتری را تایید می‌نماید. این سنین می‌سی‌سی‌پین تا دوره کربونیفر می‌باشند. گدازه‌های بالشی جوان‌تر نشان‌دهنده ادامه تشکیل پوسه اقیانوسی اللهیارلو از کربونیفر پسین تا ژوراسیک پیشین است. با توجه به این نتایج، یک سنتاریوی احتمالی برای تفسیر تکتونیکی شکل‌گیری و بسته شدن آن بخش از پوسه اقیانوسی پالئوتیس وجود دارد که اکنون در افیولیت‌اللهیارلو در شمال‌غربی ایران دیده می‌شود. به نظر می‌رسد که فروزانش و بسته شدن این پوسه اقیانوسی تقریباً ۴۳۰ میلیون سال پیش آغاز شده و می‌توان دگرگونی قوی در منطقه را به عنوان یک شاهد واضح

افیولیت‌های پالئوزوئیک



شکل ۸. نمودار ساده‌شده از سن ماقمایسم و سکانس‌های رسوبی افیولیت‌های پالئوزوئیک ایران. تعیین سن پبل‌های قره، تعیین سن آرگون-آرگون بر روی افیولیت‌های مشهد، تعیین سن اورانیوم-سرب بر روی گرانیت‌های مشهد، تعیین سن آرگون-آرگون بر روی اکلوزیت‌های رشت-شاندرمن، تعیین سن اورانیوم-سرب زیرکن در ترانجیمیت‌های اثارک، تعیین سن اورانیوم سرب گرانیت‌های تربت‌جام، پبل گرانیتی قره قیطان و پبل‌های گرانیتی سازند کشف رود، تعیین سن آرگون-آرگون بر روی منشور برافزايشی و دگرگونی دما بالای قفقاز، داده‌های رسوبات پلازیک ترکمنستان و افغانستان، تعیین سن آرگون-آرگون بر روی افیولیت لاهروود (اللهیارلو) به ترتیب ۳۴۷ تا ۱۸۷ میلیون سال (شفایی مقدم و همکاران، ۲۰۱۴).

- Dai, J. G., Wang, C. S., Hebert, R., Santosh, M., Li, Y. L., & Xu, J. Y (2011) Petrology and geochemistry of peridotites in the Zhongba ophiolite, Yarlung Zangbo Suture Zone: Implications for the Early Cretaceous intra-oceanic subduction zone within the Neo-Tethys. *Chemical Geology*, 288: 133-148.
- Eftekharnezhad, J., & Behroozi, A (1991) Geodynamic significance of recent discoveries of ophiolites and Late Paleozoic rocks in NE Iran (including Kopet Dagh). *Abhandlungen der Geologischen Bundesanstalt*, 38: 89-100.
- Ghazi, A. M., Pessagno, E. A. Hassanipak, A. A., Kariminia, S. M., Duncan, R. A., & Babaie H. A (2003) Biostratigraphic zonation and $40\text{Ar}-39\text{Ar}$ ages for the Neotethyan Khoy ophiolite of NW Iran. *Palaeogeography, Palaeoclimatology, Palaeoecology*, 193: 311-323.
- Ghazi, A. M., & Hassanipak, A. A. (2000) Geochemistry and petrology of the Shahr-e-Babak ophiolites, Central Iran. Proceedings of Penrose Conference on Ophiolites and Oceanic Crust: New Insights from Field Studies and Ocean Drilling Program. Geological Society of America Special Paper, 349: 485– 497.
- Ghazi, M., Hassanipak, A. A., Tucker, P. J., & Mobasher. K (2001) Geochemistry and $40\text{Ar}-39\text{Ar}$ ages of the Mashhad Ophiolite, NE Iran. *Eos. Trans. AGU*, 82: 47.
- Gamkrelidze, I. P., Shengelia, D. M., Shvelidze, Iu. U., & Vashakidze, G. T (1999) The new dataabout geological structure of the Lokhi crystalline massif and Goratskali metaophiolites. *Proceedings of Geological Institute of Academy of Sciences Georgia, New Series*, 114: 82-108.
- Hassanpour, S (2018) The Lost Puzzle of Paleo-Tethys Suture Zone in NW Iran: New Evidence from Geochemical Characteristics, Rb-Sr-Sm-Nd-Pb isotopes, $40\text{Ar}-39\text{Ar}$ Age dating, Biostratigraphy and Original Tectonic Settings of the Lahroud Ophiolite. *International journal of earth sciences*, under review.
- Heubeck, C (2001) Assembly of central Asia during the middle and late Paleozoic. In: Hendrix, M. S., Davis, G. A. (eds.), *Paleozoic and Mesozoic Tectonic Evolution of Central Asia; from Continental Assembly to Intracontinental Deformation*. Geological Society of America Memoir, 194: 1–22.
- Jian, P., Liu, D., Kroner, A., Zhang, Q., Wang, Y., Sun, X., & Zhang, W (2009a) Devonian to Permian plate tectonic cycle of the Paleo-Tethys Orogen in southwest China (I): Geochemistry of ophiolites, arc/back-arc assemblages and within-plate igneous rocks. *Lithos*, 113: 748-766.
- Jian, P., Liu, D., Kroner, A., Zhang, Q., Wang, Y., Sun, X., & Zhang, W (2009b). Devonian to Permian plate tectonic cycle of the Paleo-

منابع

- Alavi, M (1991) Sedimentary and structural characteristics of the Paleo-Tethys remnants in northeastern Iran. *Geological Society of America Bulletin*, 103: 983-992.
- Arvin, M., & Robinson, P. T (1994) The petrogenesis and tectonic setting of lavas from the Baft ophiolitic melange, southwest of Kerman, Iran. *Canadian Journal of Earth Sciences*, 31: 824–834.
- Aharipour, R., Moussavi, M. R., Mosaddegh, H., & Mistiaen, B (2010) Facies features and paleoenvironmental reconstruction of the Early to Middle Devonian syn-rift volcano sedimentary succession (Padeha Formation) in the Eastern-Alborz Mountains, NE Iran. *Facies*, 56: 279 – 294.
- Babaie, H. A., Ghazi, A. M., Babaei, A. A., La Tour, T. E., & Hassanipak, A. A (2001) Trace element geochemistry of the volcanic rocks of the Neyriz ophiolite, Iran. *Journal of Asian Earth Sciences*, 19: 61 – 67.
- Bagheri, S., & Stampfli, G. M (2008) The Anarak, Jandaq and Posht-e-Badam metamorphic complexes in central Iran: New geological data, relationships and tectonic implications. *Tectonophysics*, 451: 123–155.
- Buchs, D. M., Bagheri, S., Martin, L., Hermann, J., & Arculus, R (2013) Paleozoic to Triassicocean opening and closure preserved in Central Iran: Constraints from the geochemistry ofmeta-igneous rocks of the Anarak area. *Lithos*, 172(173): 267-287.
- Boulin, J (1988) Hercynian and Eocimmerian events in Afghanistan and adjoining regions. *Tectonophysics*, 148: 253-278.
- Berberian, M., Amidi, S. M., & Babakhani, A. (1981) Discovery of the Qaradagh ophiolite belt, the southern continuation of the Sevan-Akera (Little Caucasus) ophiolite belt in northwestern Iran (Ahar quadrangle); a preliminary field note. *Geol. Surv. Iran, Internal Report*, 15p (in Persian).
- Boulin, J (1980) Introduction a la geologie des Monts de Turkman, en Afghanistan: l'importance des evenements hercyniens et cimmeriens. *Revue de Geologie Dynamique et de Geographie Physique*, 3: 187-199.
- Boulin, J. 1988. Hercynian and Eocimmerian events in Afghanistan and adjoining regions. *Tectonophysics*, 148: 253-278.
- Coleman, R. G (1977) Ophiolites-ancient oceanic lithosphere (Minerals and Rocks). V, 12, Berlin, Heidelberg, and New York (Springer-Verlag), 229 p.
- Dilek, Y (2003) Ophiolite concept and its evolution. In: Dilek, Y., Newcomb, S., (eds.), *Ophiolite Concept and the Evolution of Geological Thought*, Geological Society of America Special Paper, 373: 1–16.

- Armenia) revealed by $^{40}\text{Ar}/^{39}\text{Ar}$ dating. *Gondwana Research*, 20: 798–815.
- Stocklin, J (1974) Possible ancient continental margins in Iran. In: Burke, C.A., Drake, C.L. (eds.), *The Geology of Continental Margins*. Springer-Verlag, New York, 873–887.
- Shojaata, B., Hassanipaka A. A., Mobasherb, K., & Ghazi, A. M (2003) Petrology, geochemistry and tectonics of the Sabzevar ophiolite, North Central Iran. *Journal of Asian Earth Sciences*, 21: 1053–1067.
- Shafaii Moghadam, H., & Stern, R. J (2011) Geodynamic evolution of upper Cretaceous Zagrosophiolites: formation of oceanic lithosphere above a nascent subduction zone. *Geological Magazine*, 148: 762–801.
- Shafaii Moghadam, H., Zaki Khedr, M., Arai, S., Stern, R. J., Ghorbani, G., Tamura, A., & Ottley, C. J (2013) Arc-related harzburgite-dunite-chromitite complexes in the mantle section of the Sabzevar ophiolite, Iran: a model for formation of podiform chromitites. *Gondwana Research*, <http://dx.doi.org/10.1016/j.gr.2013.09.007>.
- Shafaii Moghadam, H.; Li1, .H., Ling, X. X., Stern, R. J , Khedr, M. K , Chiaradia, M., Ghorbani, M., Shoji, A., & Tamura, A (2014) Devonian to Permian evolution of the Paleo-Tethys Ocean: New evidence from U-Pb zircon dating and Sr-Nd-Pb isotopes of the Darrehanjir-Mashhad ophiolites, NE Iran. *Gondwana Research*, Article in press.
- Schwab M., Ratschbacher, L., Siebel, W., McWilliams, M., Minaev, V., Lukov, V., Chen, F., Stanek, K., Nelon, B., Frisch, W., & Wooden, J. L (2004) Assemblage of the Pamirs: Age and origin of magmatic belts from the southern Tien Shan to the southern Pamirs and their relation to Tibet. *Tectonics*, 23, doi: 10.1029/2003TC001583.
- Shi, R., Griffin, W. L., O'Reilly, S. Y., Huang, Q., Zhang, X., Liu, D., Zhi, X., Xia, Q., & Ding, L (2012) Melt/mantle mixing produces podiform chromite deposits in ophiolites: Implications of Re–Os systematics in the Dongqiao Neo-tethyan ophiolite, northern Tibet. *Gondwana Research*, 21: 194–206.
- Stampfli, G. M (1978) Etude Géologique générale de l'Elbourz oriental au sud de Gonbad-e-Qabus (Iran, NE). PhD Thesis, Université de Genève, 329 pp.
- Sengor, A. M. C., & Natalin, B. A (1996) Paleotectonics of Asia: Fragments of a synthesis. In: Yin, A. and Harrison, T.M. (eds), *The Tectonic Evolution of Asia*. Cambridge University Press, 486–640.
- Su, B. Q., Qin, K. Z., Sakyi, P. A., Li, X.-H., Yang, Y. H., Sun, H., Tang, D. M., Liu, P. P., Xiao, Q. H., & Malaviarachchi, S. P. K (2011) U–Pb ages and Hf–O isotopes of zircons from Tethys Orogen in southwest China (II): Insights from zircon ages of ophiolites, arc/back-arc assemblages and within-plate igneous rocks and generation of the Emeishan CFB province. *Lithos*, 113: 767–784.
- Jiang, C., Yang, J., & Feng, B (1992) Opening and closing Tectonics of the Kunlun Mountains. Geological Publishing House, Beijing.
- Karimpour, M. H., Stern, C. R., & Farmer, G. L (2010) Zircon U–Pb geochronology, Sr–Nd isotope analyses, and petrogenetic study of the Dehnow diorite and Kuhsangi granodiorite (Paleo-Tethys), NE Iran. *J. Asian Earth Sci.*, 37: 384–393.
- Li, C., Xiao, W., Han, C., Zhou, K., Zhang, J., & Zhang, Z (2014) Late Devonian-Early Permian accretionary orogenesis along the North Tianshan in the southern Central Asian Orogenic Belt. *International Geology Review*, 68.
- Mirsakhanov, M. W. (ed.) (1989) Geologic map of Turkmenistan, scale 1:500000. Turkmengeologyia Ashkabad (in Russian).
- McCall, G. J. H (1985) Area report, east Iran, area no. 1. *Geological Survey of Iran Report*, 57: 643.
- Mirnejad, H., Lalonde, A. E., Obeid, M., & Hassanzadeh, J (2013) Geochemistry and petrogenesis of Mashhad granitoids: an insight into the geodynamic history of the Paleo-Tethys in northeast of Iran. *Lithos*, 170–171: 105–116.
- McCall, G. J. H (1997) The geotectonic history of the Makran and adjacent areas of southern Iran. *Journal of Asian Earth Sciences*, 15: 517–531.
- Meng, F., Cui, M., Wu, X., & Ren, Y (2013) Heishan mafic-ultramafic rocks in the Qimantag area of Eastern Kunlun, NW China: Remnants of an early Paleozoic incipient island arc. *Gondwana Research*, 23: 825–836.
- Omrami, H., Moazzen, M., Oberhansli, R., Tsujimori, T., Bousquet, R., & Moayyed, M (2013) Metamorphic history of glaucophane-paragonite-zoisite eclogites from the Shanderman area, northern Iran. *Journal of Metamorphic Geology*, 31: 91–812.
- Ruttnar, A. W (1993) Southern borderland of Triassic Laurasia in northeast Iran. *Geologische Rundschau*, 82: 110–120.
- Robert, A. M. M., Letouzey, J., Kavoosi, M. A., Sherkat, S., Muller, C., Verges, J., & Ghababaei, A (2014) Structural evolution of the Kopeh Dagh fold-and-thrust belt (NE Iran) and interactions with the south Caspian Sea Basin and Au Darya Basin. *Marine and Petroleum Geology*, 57: 68–87.
- Rolland, Y., Sosson, M., Adamia, Sh., & Sadradze, N (2011) Prolonged Variscan to Alpine history of an active Eurasian margin (Georgia,

- Geochemistry and geochronology of the Neoproterozoic Pan-African Transcaucasian Massif and implications for island arc evolution of the Late Precambrian Arabian-Nubian Shield. *Gondwana Research*, 11: 92-108.
- Late Paleozoic mafic-ultramafic units in the southern Central Asian Orogenic Belt: Tectonic implications and evidence for an Early-Permian mantle plume. *Gondwana Research*, 20: 516-531.
- Stampfli, G. M., & Borel, G. D (2002) A plate tectonic model for the Paleozoic and Mesozoic constrained by dynamic plate boundaries and restored synthetic oceanic isochrons. *Earth and Planetary Science Letters*, 196: 17-33.
- Stampfli, G. M., Marcoux, J., & Baud, A (1991) Tethyan margins in space and time. *Palaeogeography, Palaeoclimatology, Palaeoecology*, 87: 373-409.
- Takin, M (1972) Iranian geology and continental drift in the Middle East. *Nature*, 235: 147-150.
- Treloar, P. J., Mayringer, F., Finger, F., Gerdes, A., & Shengalia, D (2009) New age data from the Dzirula Massif, Georgia: implications for Variscan evolution of the Caucasus. 2nd International Symposium on the Geology of the Black Sea Region, Abstract book, pp. 204-205.
- Torabi, G., ShirdaShtzadeh, N., arai, S. & KoepKe, J (2011) Paleozoic and Mesozoic ophiolites of Central Iran: amphibolites from Jandaq, Posht-e-Badam, Nain and Ashin ophiolites. – N. Jb. Geol. Paläont. Abh. 262: 227-240; Stuttgart.
- Zanchetta, S., Berra, F., Zanchi, A., Bergomi, M., Caridroit, M., Nicora, A., & Heidarzadeh, G (2013) The record of the Late Palaeozoic active margin of the Palaeotethys in NE Iran: Constraints on the Cimmerian orogeny. *Gondwana Research*, 24: 1237-1266.
- Zanchi, A., Zanchetta, S., Berra, F., Mattei, M., Garzanti, E., Molyneux, S., Nawab, A., & Sabouri, J (2009) The Eo-Cimmerian (Late Triassic) orogeny in north Iran. In M.-F. Brunet, M. Wilmsen and J.W. Granath (eds.), South Caspian to Central Iran Basins. Geological Society of London Special Publication, 312: 31-55.
- Zhai, Q. G., Jahn, B. M., Wang, J., Su, L., Mo, X. X., Wang, K. L., Tang, S. H., & Lee, H. Y (2013) The Carboniferous ophiolite in the middle of the Qiangtang terrane, Northern Tibet: SHRIMP U-Pb dating, geochemical and Sr-Nd-Hf isotopic characteristics. *Lithos*, 168-169: 186-199.
- Zanchetta, S., Zanchi, A., Villa, I., Poli, S., & Mottoni, G (2009) The Shanderman Eclogites: a Late Carboniferous high-pressure event in the NW Talesh Mountains (NW Iran). In: Brunet, M.F., Wilmsen, M., Granath, J.W. (eds) South Caspian to Central Iran Basins. Geological Society, London, Special Publications, 312: 57-78.
- Zakariadze, G. S., Dilek, Y., Adamia, S. A., Adamia, Sh. A., Oberhansli, R. E., Karpenko, S. F., Bazylev, B. A., & Solov'eva, N (2007)

Geological Studies of Ophiolite Collection Allahyarlu, Northwest of Iran

Sh. Hassanzadeh¹ and S. Senemari^{*2}

1- Dept., of geology, Payame Noor University, Iran

2- Dept., of Mining Engineering, Imam Khomeini International University, Qazvin

*senemari2004@yahoo.com

Received: 2018/5/19 Accepted: 2019/6/22

Abstract

The principal rock units are a gabbro sequence, late intrusive rocks that consist largely of the plagiogranite and volcanic rocks, which are largely pillow basalts interbedded with pelagic sedimentary rocks, including radiolarian cherts. Chondrite- and primitive mantle-normalized incompatible trace element data indicate that the Lahroud ophiolite was derived from a within plate basalt-like mantle source. All rocks are cogenetic geochemically and were derived by fractionation from melts with a composition similar to average E-MORB with calc-alkaline signatures. Plate reconstructions suggest that the rocks appear to be approximately contemporaneous with the Mashhad ophiolites and Rasht ophiolite, which has a crystallization age of ~380 Ma. Rocks from the Lahroud ophiolite complex represent northern Paleo-Tethyan ocean crust that was formed distinctly earlier than crust preserved in the Ma Paleo-Tethys suture zone ophiolite from upper Paleozoic to Later Teriassic. The results from microfossil studies show the presence of Paleozoic biostratigraphy (e.g., *Paleotextularia*, *Nodosinella cf. concinna*, *Pseudokahlerina*, *Cylindrica*, *Earlandia*, *Endothyra baileyi*, *pachyphloia*, *Fusulinella Stafella* and Bivalve, *Paratikhine*). The data suggest that although the initial rifting and crystallization of the oceanic crust of the Lahroud ophiolite began in the Carboniferous, with volcanic activities continuing through to the late Triassic.

Keywords: Ophiolite, Paleo-Tethys, Allahyarlu, Lahroud